

文章编号:1001-5078(2007)07-0608-02

## 镀锌板激光钎焊接头拉伸性能研究

王之桐,江玉军,杨武雄  
(北京工业大学激光工程研究院,北京 100022)

**摘要:**文中使用 2kW Nd:YAG 激光,对 0.88mm 厚的镀锌板进行了激光钎焊实验,采用 T 形接头形式,焊丝为 0.8mm CuSi<sub>3</sub>,通过优化选择工艺参数,获得了成型良好的钎焊接头,通过钎焊接头厚度的加强,在拉伸实验中,钎焊接头的强度超过了母材。

**关键词:**激光钎焊;Nd:YAG;镀锌板;拉伸实验

**中图分类号:**TG456.7; TG454      **文献标识码:**A

## Analysis of Tensile Properties on the Laser Braze Joint of Galvanized Steel

WANG Zhi-tong, JIANG Yu-jun, YANG Wu-xiong

(College of Laser Engineering, Beijing University of Technology, Beijing 100022, China)

**Abstract:** In this paper, the experiment of laser brazing was processed with 2kW Nd:YAG laser, 0.88mm galvanized steel, T-joint type, 0.8mm CuSi<sub>3</sub> wire. The formation of laser brazing was better. In the tensile test the strength of joint was higher than that of base plate.

**Key words:** laser brazing; Nd:YAG; galvanized steel; tensile test

### 1 引言

随着汽车工业的发展,对车身提出很高的防腐要求,而镀锌板本身具有良好的防腐蚀特性,因此在汽车车身上得到广泛应用。但是对镀锌板的焊接是个难题,锌汽化温度低于低碳钢的熔化温度,激光熔焊将导致表面锌层的蒸发,造成气孔、未熔合和裂纹等缺陷,激光钎焊作为一种热传导焊接,输入热量小,能将接头附近的锌层蒸发减到最小,通过选择合适的抗腐蚀焊料,可以在实现镀锌板连接的同时,保持接头优良的抗腐蚀特性。

### 2 实验装置和方法

在实验中,使用 Rofin CW O25 激光器,光纤耦合输出,聚焦镜焦距为 200mm, Motoman 机械手,试板为 0.88mm 厚镀锌板 St02Z, 接头形式为卷对接, 焊丝为直径 0.8mm CuSi<sub>3</sub>, 焊丝成分在表 1 中表示, 使用自行研制的自动送丝机进行自动送丝, 激光焦点在母板的上方, 光斑直径为 1.5mm, 母板和焊丝表面用丙酮清洗, 氩气保护, 在图 1 中表示出了实验原理图。

表 1 CuSi<sub>3</sub> 焊丝成分

Tab. 1 component of CuSi<sub>3</sub> wire %

Cu	Si	Al	Fe	Mn	Ni	P	Pb	Sn	Zn
基体	3.01	0.0042	0.0535	0.98	0.0072	0.0042	<0.002	0.0248	<0.01

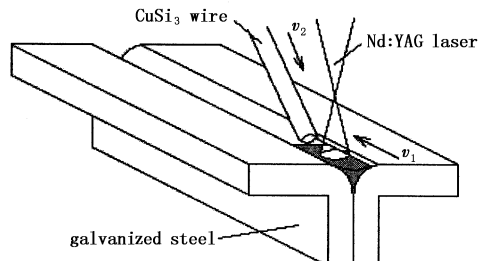


图 1 实验原理图

Fig. 1 schematic of experiment

试板尺寸为 100mm × 300mm, 长边为轧制方向, 使用弯板机沿长边方向将试板边缘 10mm 宽度弯成垂直, 然后取最小间隙对接。在实验中将激光器调到最大稳定输出功率 2kW, 激光束和垂直方向成 10° 夹角, 让送丝头和试板之间的夹角为最小, 在焊缝附近的锌层没有明显蒸发的前提下, 尽可能地放慢扫描速度, 最终实验参数为 0.4m/min, 送丝速度为 0.7m/min。

制备钎焊接头横截面金相试样, 在光学显微镜

**作者简介:**王之桐(1972-), 博士学位, 毕业于中科院力学所, 激光物理专业, 多年从事激光器件, 激光加工的研究工作。E-mail: wangzhitong@ hotmail. com

收稿日期:2007-01-16

下观察钎焊接头组织。制备拉伸试样时,将焊好的试板沿垂直焊缝方向切割出试样,取试板中间部分,共制备了6条拉伸试样,试样的尺寸为84mm×20mm,在MTS 810拉伸实验机上进行拉伸实验。

### 3 实验结果和分析

#### 3.1 钎焊焊缝和接头照片

在图2中表示了完整的钎焊焊缝。在图3中表示了钎焊接头的横截面金相组织。可以看出在激光钎焊过程中,焊丝熔化充分,焊缝表面成型良好,当熔化焊丝充分润湿接头底部时,接头的厚度约为1.1mm,反之在接头底部发现有大的空隙和孔洞存在。

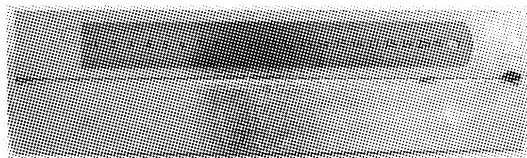
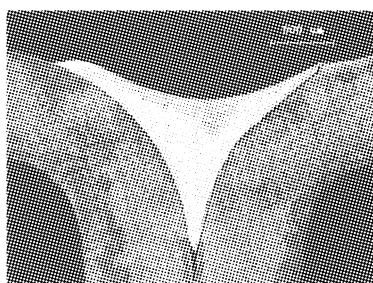
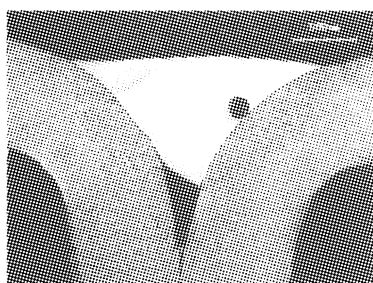


图2 完整的激光钎焊焊缝

Fig. 2 appearance of full laser brazing seam



(a) 底部充分润湿的钎焊接头  
(a) sufficient wetted bottom of joint



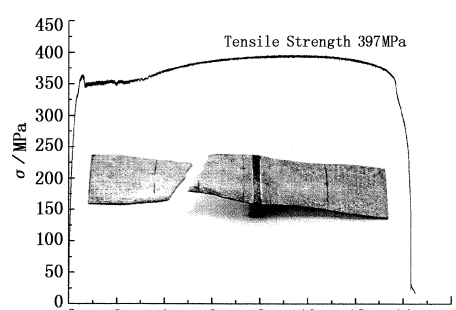
(b) 底部润湿不充分的钎焊接头  
(b) insufficient wetted bottom of joint

图3 激光钎焊接头照片

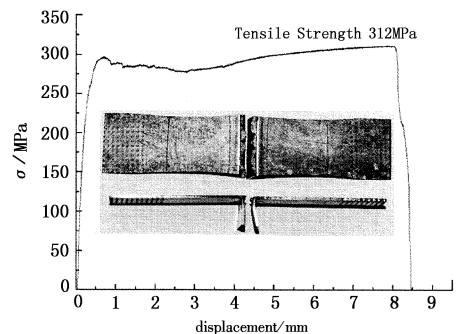
Fig. 3 photos of laser brazing joint

#### 3.2 拉伸实验数据分析

在表2中列出了拉伸实验结果,其中三条试样在母材处断裂,拉伸曲线表示在图4(a)中,两条试样在焊缝处断裂,拉伸强度达到了母材的80%。拉伸曲线表示在图4(b)中,一条试样发生脆断。此实验结果表明自动送丝过程不够稳定,当焊丝对母板润湿良好时,通过接头厚度(1.1mm)的加强作用,断裂发生在母材处;当在钎焊接头的过渡区和底部出现气孔和未熔合等缺陷时,接头的强度下降,但仍有很高的强度,延伸率也有所下降,严重的缺陷导致了脆断。



(a) 断裂位置在母材  
(a) break at base plate



(b) 断裂位置在焊缝  
(b) break at brazing seam

图4 拉伸曲线

Fig. 4 curve of tensile tests

表2 拉伸实验结果

Tab. 2 result of tensile test

试样号	拉伸强度/MPa	延伸率/%	断裂状态
1	397	16.4	母材
2	392	16.0	母材
3	395	16.3	母材
4	312	14.2	焊缝
5	305	10.6	焊缝
6	285	—	脆断

### 4 结论

通过优化激光钎焊工艺参数,得到了成型良好的钎焊接头。在拉伸实验中发现,接头底部焊丝对接头的润湿情况决定了接头的拉伸强度,当润湿良好时接头的强度超过母材,大的孔洞将导致接头强度下降,严重的将导致脆断发生。

### 参考文献:

- [1] T Markovits, J Takács, A Lovas, et al. Laser brazing of aluminium [J]. J of Materials Processing Technology, 2003, 143 - 144: 651 - 655.
- [2] Feng Xiao-song, Chen Yan-bin, Li Li-qun. Study of seam appearance and joint quality in laser brazing for galvanized steel sheets [J]. Applied Laser, 2005, 25 (1): 23 - 26. (in Chinese)
- [3] Li Fei-qun, Qu Feng, Ding Jian-jun, et al. Study on laser brazing of zinc-coated steel with filler wire [J]. Electric Welding Machine, 2003, 33 (2): 40 - 50. (in Chinese)
- [4] Feng Xiao-song, Chen Yan-bin, Li Li-qun, et al. Laser brazing with wire feed of galvanised thin sheets [J]. Applied Laser, 2004, 24 (6): 357 - 360. (in Chinese)